

# Nowoczesne technologie materiałowe stosowane w przemyśle lotniczym

## Modern material technologies in aerospace industry

### Materiały inteligentne - oraz bazujące na nich systemy zespolone (ang. smart embedded systems) do zastosowania w lotnictwie

#### Smart embedded systems based on intelligent materials

Instytut Podstawowych Problemów Techniki Polskiej Akademii Nauk, Instytut Maszyn Przepływowych Polskiej Akademii Nauk  
Instytut Techniczny Wojsk Lotniczych, Instytut Lotnictwa w Warszawie, Politechnika Rzeszowska, Politechnika Lubelska, Politechnika Warszawska

#### Wyniki badań Results

##### Delaminacja w kompozytach strukturalnych Delamination in structural composite waveguides

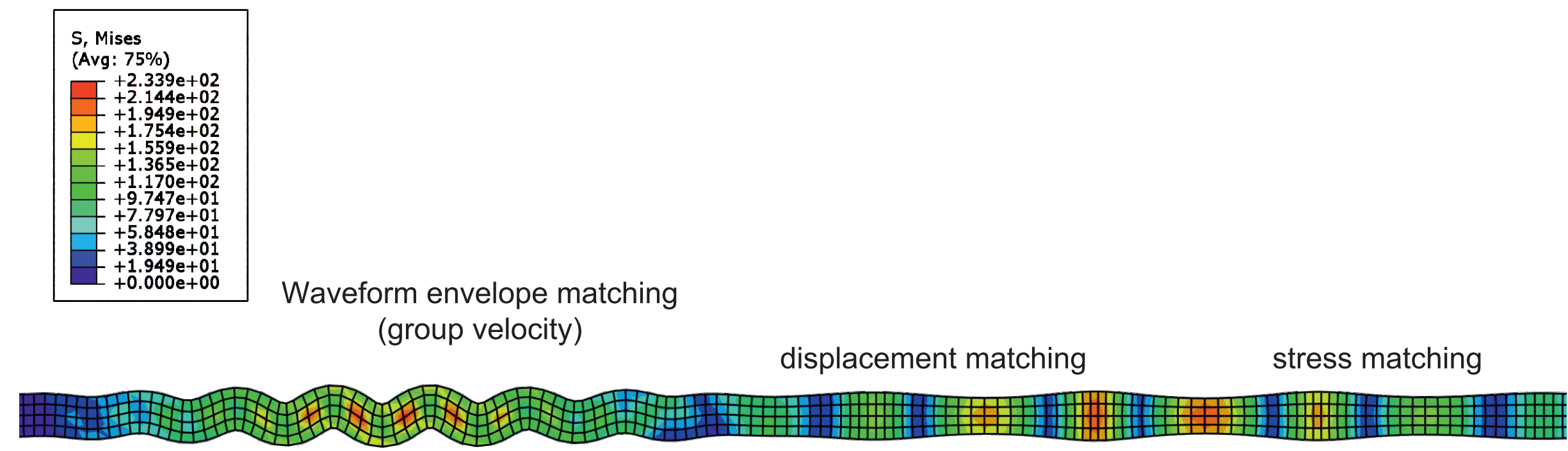
Cel prowadzonych badań:  
- analiza możliwości wykorzystania fal ultradźwiękowych do usuwania niepożądanych warstw osadzających się na strukturze (np. oblodzenie),  
- podstawy systemu detekcji i klasyfikacji oblodzeń wykorzystujących fale o wysokiej częstotliwości.

The general research aim is to investigate the influence of the ultrasonic waves on the integrity of structural composites. A primary question that is to be answered is how waves may be used as an efficient tool for inducing delamination in a desired interface of a structure without jeopardising its integrity. This concept is a basis on which modern ultrasonic de-icing systems can be developed. Guided waves propagation analysis is also aimed on determining their ice detection and classification potential.

Zakres prac wykonanych w I i II kwartale 2012:

##### 1. Walidacja modelu falowego (z wymuszeniem) za pomocą analizy MES

Forced response wave model validation with FE simulation (ABAQUS)  
Skonstruowany model falowy poddano weryfikacji za pomocą wirtualnego eksperymentu MES (ABAQUS). Potwierdzono wiarygodność modelu falowego.



Rys. 1. Walidacja modelu falowego za pomocą modelu MES  
Fig. 1. Wave model validation with FE analysis

##### 2. Tłumienie fal w warstwie nadbudowanej (np. oblodzenie) – implementacja przybliżonej metody obliczeniowej

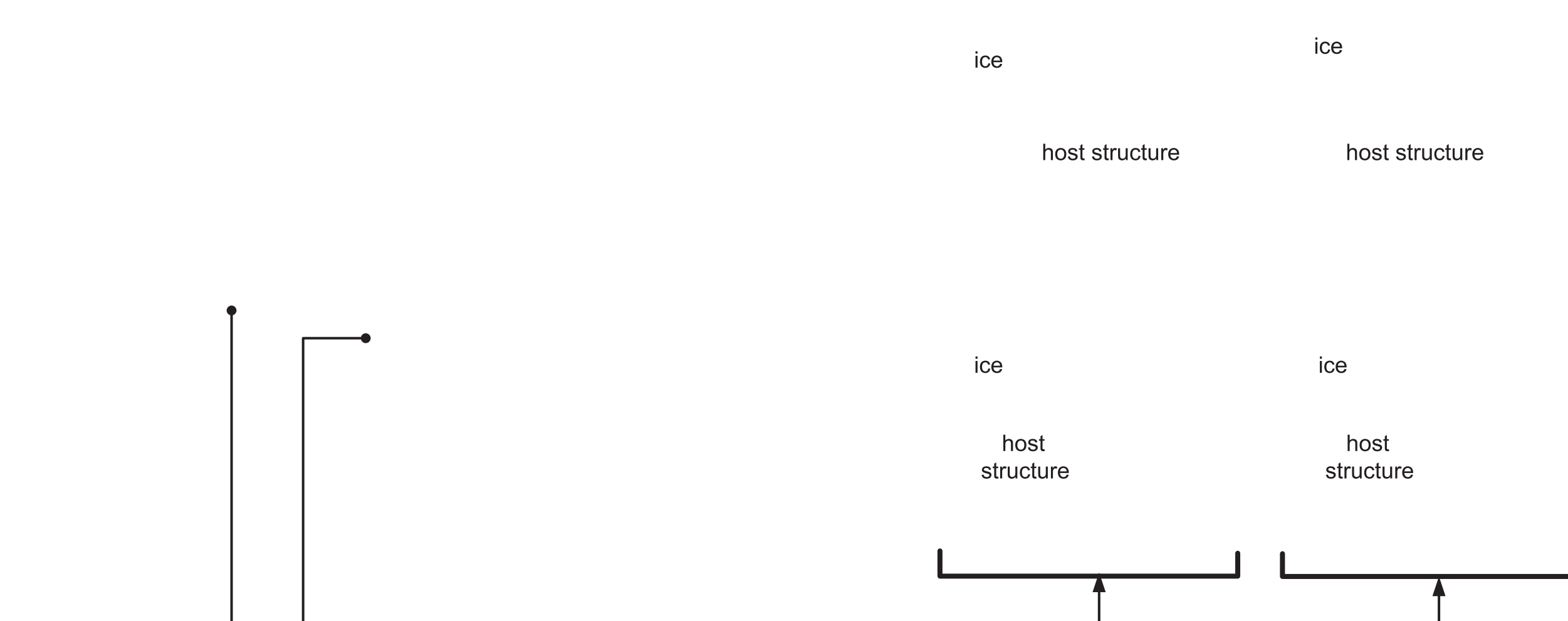
Wave attenuation in plates with a lossy accretion – implementation of an approximate numerical method  
Tłumienie fal dla płyty pokrytej stratną warstwą nadbudowaną obliczono na podstawie dystrybucji energii w równoważnej płycie idealnie elastycznej (Simonetti 2004).

Rys. 2. Tłumienie fali naniesione na krzywe dyspersji (po lewej) - lod szklisty (2 mm) na aluminium (2 mm); tłumienie fali dla pierwszego modu (po prawej)  
Fig. 2. Wave attenuation imposed on the dispersion curves (on the left) of 2 mm glaze ice on 2 mm aluminium plate; wave attenuation for the first mode (on the right)

##### 3. Propagacja energii i dystrybucja mocy wymuszenia pomiędzy poszczególne mody

Energy propagation and power partitioning between the wave modes  
Analiza rozkładów energii odkształcenia wzdłuż grubości struktury dla różnych modów dostarcza istotnych informacji na temat charakterystyki fali, przede wszystkim tłumienia i oczekiwanych efektów oddziaływania na spójność struktury. Pożądanym rozkładem energii zapewnią niewrażliwość fali na zniszczenie warstwy oblodzenia oraz niskie tłumienie (propagacja wzdłuż warstwy aluminium).

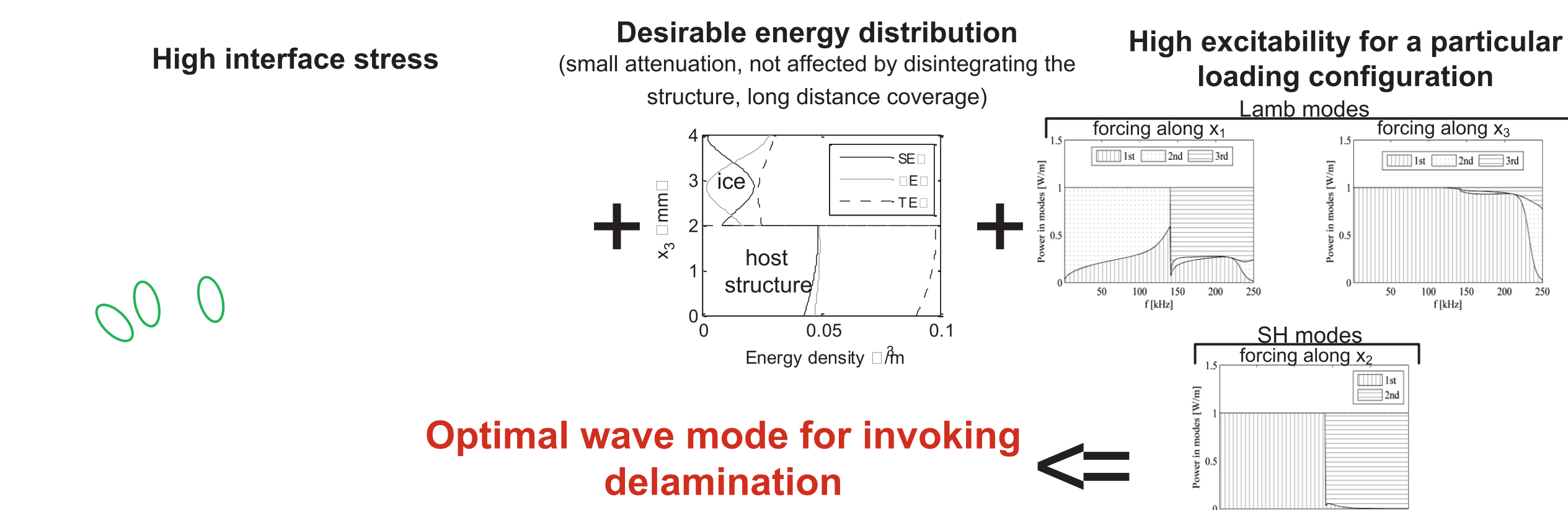
A) Energy contained mainly in the ice layer; energy contained mainly in the host  
Power flow mainly across the ice layer; Power flow mainly across the host



Rys. 3. Część całkowitej energii odkształcenia zawarta w warstwie nadbudowanej naniesiona na krzywe dyspersji. Przykładowe skrajne rozkłady energii: A) energia propaguje głównie w warstwie nadbudowanej (peknięcia kohezyjne, wysokie tłumienie); B) energia propaguje głównie w aluminium (niskie tłumienie, małe prawdopodobieństwo pęknięć kohezyjnych)  
Fig. 3. Fraction of the total strain energy contained in the accreted layer imposed on the dispersion curves. Sample extreme energy distributions: A) energy propagates mainly along the build-up (cohesive cracks, high attenuation); B) energy propagates mainly along the host (low attenuation, no cohesive cracks expected)

##### 4. Kryteria doboru optymalnego modu dla odladzania i oparta na nich analiza parametryczna

Optimal wave mode selection for de-icing and following parametric analysis



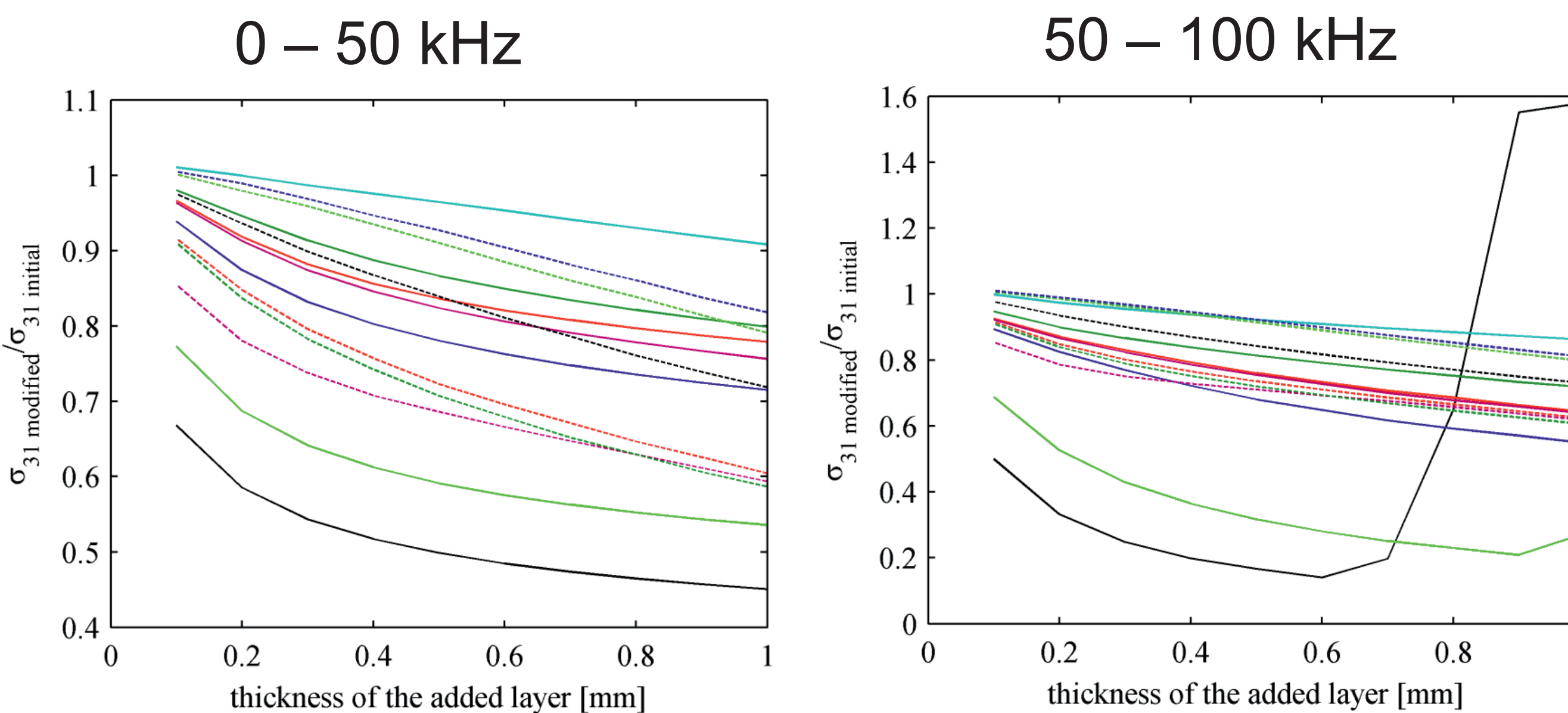
Rys. 4. Wyniki analizy parametrycznej dla warstw nadbudowanych o różnej sztywności. Maksymalne naprężenie międzywarstwowe w wybranych zakresach częstotliwości dla trzech podstawowych modów.  
Fig. 4. Parametric analysis results for accreted layers of different Young's moduli. Maximum interface shear stress in frequency ranges specified for three fundamental modes.

Usunięcie warstwy lodu wymaga dostarczenia mocy mechanicznej >0.4 W/cm<sup>2</sup> (mod A0)  
Wymuszenie w płaszczyźnie płyty (np. dyski PZT): A0, S0 i SH0 są wzbudzone jednocześnie pozwalając na redukcję wymaganej mocy wejściowej do 0.14 W/cm<sup>2</sup>  
Optymalizacja struktury może wpłynąć na obniżenie wymaganej mocy wejściowej.  
W przypadku skończonej płyty, superpozycja fal odbitych od granic w rezonansie znacznie zwiększy naprężenia międzywarstwowe.

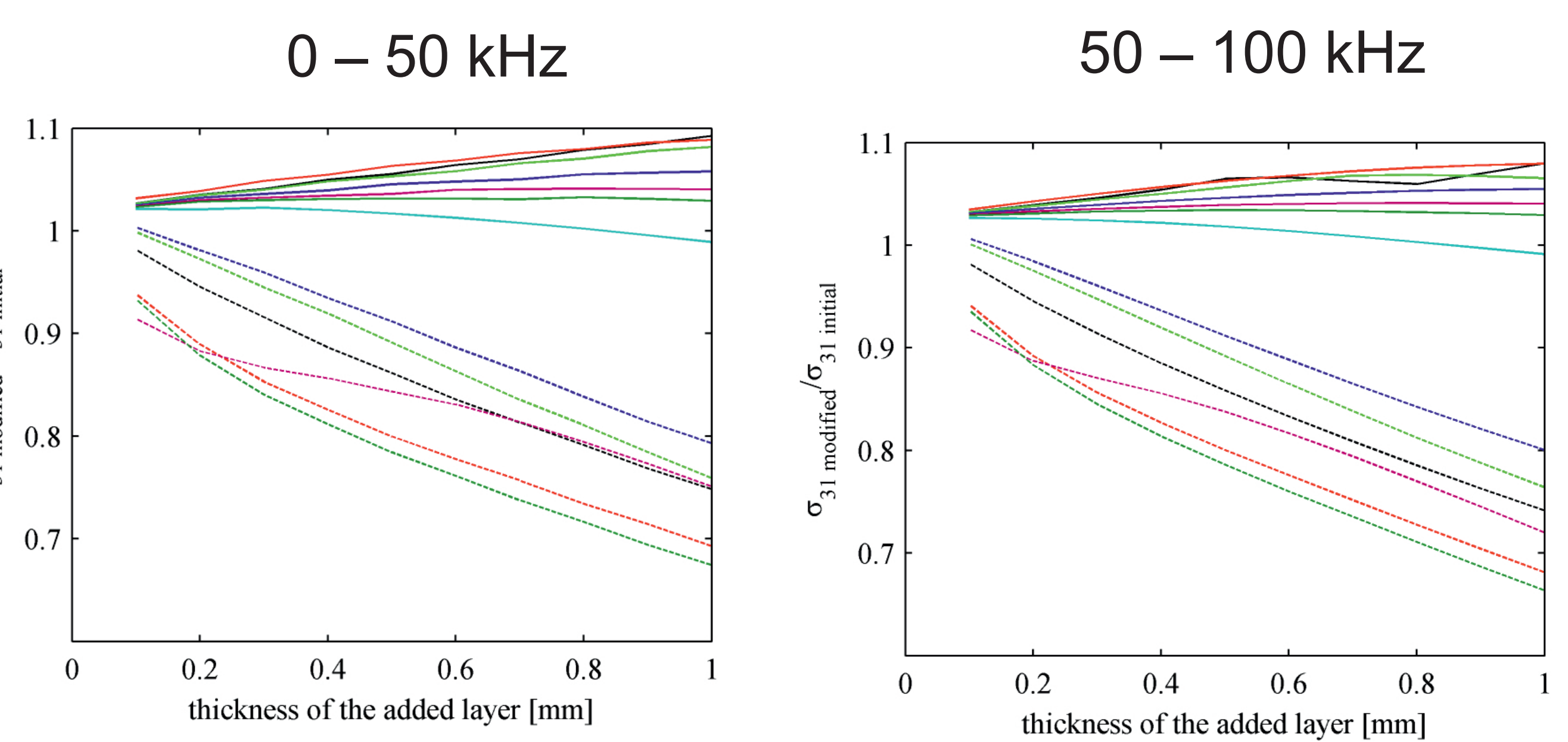
##### 5. Modyfikacja strukturalna – możliwe strategie i potencjalne efekty

Structural modification – possible strategies and potential effects  
Badano możliwości zwiększenia generowanych naprężeń na granicy lod /struktura za pomocą trzech typów modyfikacji strukturalnych.

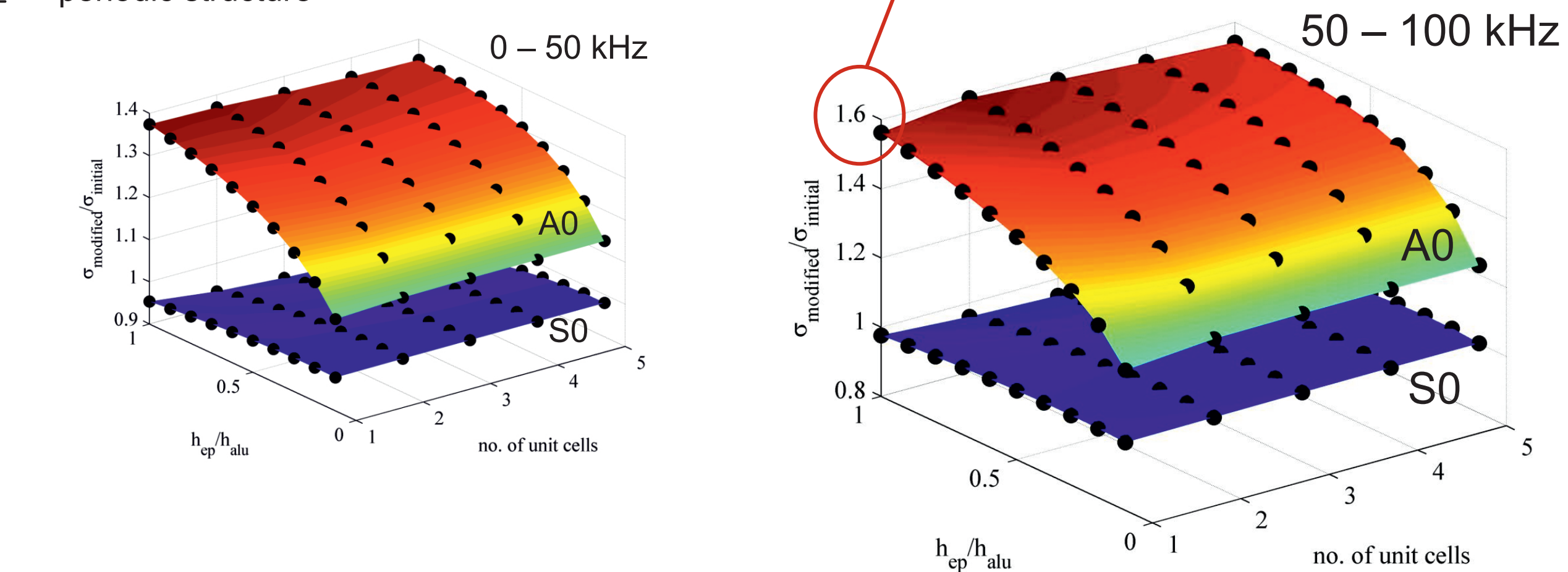
Warstwa przejściowa nie wpływa na zwiększenie naprężeń (poza materiałem o E <0.1 GPa).  $\sigma_{31}$  maleje wraz z grubością modyfikacji.



Podkład o sztywności niższej niż lod nieznacznie wzmacnia generowane naprężenia (<10%). Podkład o sztywności wyższej niż aluminium osłabia naprężenia do 30% dla warstwy 1 mm



Material 1: Aluminium  
Material 2: Epoksy  
Fixed total thickness: 2 mm



Rys. 5. Modyfikacja strukturalna – założenia i potencjalne efekty  
Fig. 5. Structural modification – strategies and possible effects

#### Wnioski Conclusions

- Pozytywnie zweryfikowano model obliczeniowy propagacji fal w oparciu o analizę MES.
- Rozkład energii odkształcenia w strukturze z oblodzeniem dla danej postaci fal ma kluczowy wpływ na zasięg (tłumienie fali) oraz charakter wywołanego zniszczenia w oblodzeniu.
- Wyznaczono kryteria doboru optymalnego modu dla odladzania w oparciu o analizę falową.

- delaminacji dla oblodzenia
- Zbadano wpływ różnych modyfikacji struktury na zwiększenie naprężeń, uzyskano stosując periodyczny układ warstw (Zhu 2010)

#### Kierunki dalszych badań

- Zaprojektowanie i przeprowadzenie eksperymentów weryfikujących analizę symulacyjną
- Przygotowanie koncepcji systemu detekcji oblodzenia oraz eksperymenty walidujące

#### Conclusions

- The wave model was successfully validated with FEA (ABAQUS)
- Energy distribution across the thickness has a practical consequence in the anticipated effect accompanying guided wave propagation and determines the nature of build-up destruction; furthermore, it is closely related to wave attenuation
- Optimal wave mode selection for de-icing procedure was established
- Based on refined parametric study achievable interface stress for various build-requirements for de-icing were specified
- Structural modification for stress generation enhancement was investigated, results were obtained for periodic arrangement of layers (Zhu 2010),

#### Future work

- To design conduct suitable experiments verifying numerical analyses results
- Icing detection concept and proof-of-concept experiments

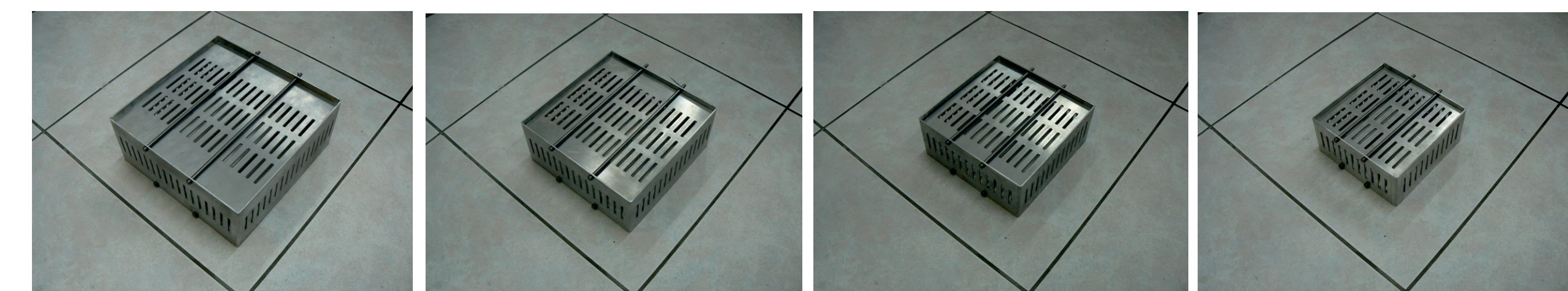
#### Wskaźniki realizacji celów projektu Indicators of the project

Praca doktorska w realizacji  
Michał Kalkowski „Delamination in structural composite waveguides”

#### Wyniki badań Results

##### Wytwarzanie i badanie elastycznej pianki poliuretanowej o ujemnym współczynniku Poissona

Manufacturing and testing elastic polyurethane foam with negative Poisson ratio



Rys. 1. Formy do wytwarzania próbek pianki aukstycznej 150x150x50 mm  
Fig. 1. Form to production of auxetic foam specimens 150x150x50 mm



Rys. 2. Próbkę pianki aukstycznej 150x150x50 mm przetworzonej z pianki poliuretanowej S28280 245x245x82 mm (S28280/93), 216x216x72 mm (S28280/94) i 192x192x64 mm (S28280/95)  
Fig. 2. The auxetic foam specimens 150x150x50 mm made from S28280 polyuretan foam 245x245x82 mm (S28280/93), 216x216x72 mm (S28280/94) and 192x192x64 mm (S28280/95)

#### Zgłoszenie patentowe Patent application



Urząd Patentowy RP, Warszawa, 2012-04-24

Urząd Patentowy RP, Warszawa, 2012-04-24